

Meritev parametra kršitve simetrije CP (\mathcal{A}_{CP}) pri šibkih razpadih barionov Λ_c z detektorjem Belle

Peter Smerkol

Institut Jožef Stefan

Predstavitev doktorskega dela

22.2.2013

- Uvod
- Eksperiment
- Metoda meritve
- Razvoj metode na simuliranih podatkih
- Analiza izmerjenih podatkov
- Sistematska negotovost
- Povzetek

Kršitev simetrije CP :

- Kršitev simetrije CP ključna pri razlagi asimetrije med snovjo in antisnovjo v vesolju.
- Opis v Standardnem Modelu \rightarrow mehanizem Kobayashi-Maskawa, ne pojasni celotne izmerjene asimetrije.
 \rightarrow iskanje novih izvorov kršitve simetrije CP .

Iskanje kršitve simetrije CP v razpadih čarobnih barionov:

- Kršitev še ni bila opažena v razpadih barionov,
- V razpadih delcev z čarobnim kvarkom je kršitev simetrije CP majhna
 \rightarrow izmerjena kršitev nad $\mathcal{O}(10^{-3})$ jasen znak fizike izven SM.

Uvod

Razpad bariona z spinom $1/2$ v barion z spinom $1/2$ in mezon z spinom 0 ($B \rightarrow B'M$)

Amplitudi za razpad in CP konjugirani razpad:

$$A(B \rightarrow B'M) = \bar{u}_{B'}(p_{B'}, s_{B'})[A_S - \gamma_5 A_P]u_B(p_B, s_B)$$

$$A(\bar{B} \rightarrow \bar{B}'\bar{M}) = \bar{u}_{B'}(p_{B'}, s_{B'})[A_S + \gamma_5 A_P]u_B(p_B, s_B)$$

Kotna porazdelitev razpadnih produktov (iz vzorca s polarizacijo P_B):

$$\frac{dN}{d \cos \theta} = \frac{N}{2}(1 + P_B \alpha_B \cos \theta)$$

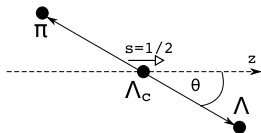
$$\frac{d\bar{N}}{d \cos \theta} = \frac{\bar{N}}{2}(1 - P_{\bar{B}} \alpha_{\bar{B}} \cos \theta)$$

$\alpha_B, \alpha_{\bar{B}}$ - parametra kršitve simetrije P (operator zrcaljenja prostora)

Če kršitve simetrije CP ni, velja $\alpha_B = -\alpha_{\bar{B}} \implies$

Asimetrija, ki meri kršitev simetrije CP v razpadu:

$$A_{CP}^B = \frac{\alpha_B + \alpha_{\bar{B}}}{\alpha_B - \alpha_{\bar{B}}}$$



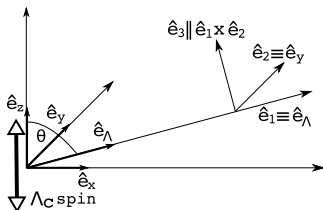
Uvod

Razpadna veriga $\Lambda_c \rightarrow \Lambda\pi$, $\Lambda \rightarrow p\pi$

Veriga dveh razpadov, opisanih zgoraj. Kotna porazdelitev razpadnih produktov zapisana v pravem sistemu neodvisna od polarizacije:

$$\frac{dN}{d \cos \vartheta_1} = \frac{N}{2} (1 + \alpha_{\Lambda_c} \alpha_{\Lambda} \cos \vartheta_1), \quad \cos \vartheta_1 = \hat{e}_p \cdot \hat{e}_1,$$

Smer \hat{e}_1 definirana za vsak razpad posebej v t.i. emisijskem sistemu Λ . Smer \hat{e}_p smer emisije protona v težiščnem sistemu Λ .



Asimetrija, ki meri kršitev simetrije CP v celotni razpadni verigi:

$$\mathcal{A}_{CP} = \frac{\alpha_{\Lambda} \alpha_{\Lambda_c} - \alpha_{\bar{\Lambda}} \alpha_{\bar{\Lambda}_c}}{\alpha_{\Lambda} \alpha_{\Lambda_c} + \alpha_{\bar{\Lambda}} \alpha_{\bar{\Lambda}_c}}$$

α_{Λ} že izmerjen \rightarrow določimo

$$\mathcal{A}_{CP}^{\Lambda_c} = \frac{\alpha_{\Lambda_c} + \alpha_{\bar{\Lambda}_c}}{\alpha_{\Lambda_c} - \alpha_{\bar{\Lambda}_c}}.$$

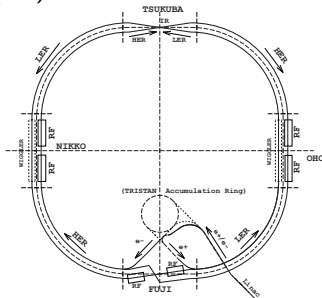
Eksperiment

Trkalnik KEKB

Trkalnik e^+ in e^- , energiji 8.0 GeV in 3.5 GeV \rightarrow
težiščna energija 10.58 GeV, masa $\Upsilon(4S)$

Procesi pri trkih:

- $e^+e^- \rightarrow \Upsilon(4S) \rightarrow B\bar{B}$
- $e^+e^- \rightarrow q\bar{q}, q = u, d, s, c$
- Bhabha sipanje, dvofotonski procesi, τ produkcija, ...

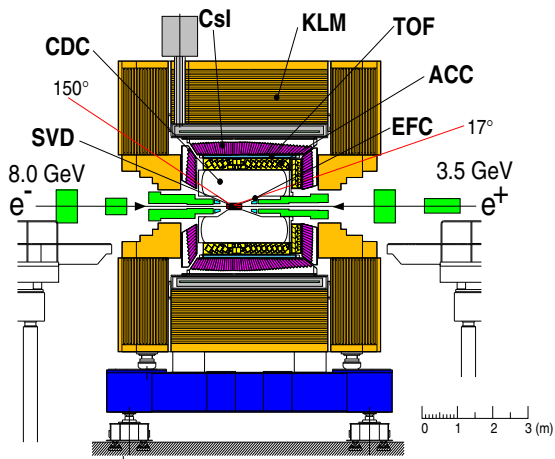


Velika luminoznost \rightarrow veliko število zaznanih razpadov mezonov B
($\sim 10^9$), čarobnih hadronov ($\sim 10^9$), ...

Detektor Belle postavljen okoli točke križanja žarkov (interakcijske točke)

Eksperiment

Detektor Belle



Detektorski moduli s specifičnimi nalogami: meritve končnih produktov vseh razpadov ($e, \mu, \pi, K, p, \gamma$):

- identifikacija,
- merjenje gibalne količine,
- merjenje energije.

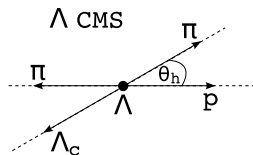
Metoda meritve

$\langle \alpha \rangle$

Meritev $\alpha = \alpha_{\Lambda} \alpha_{\Lambda_c} \rightarrow$ meritev porazdelitve:

$$\frac{dN}{d\cos\theta_h} = \frac{N}{2}(1 + \alpha \cos\theta_h)$$

θ_h - kot med smerema gibalnih količin protona in piona iz Λ_c v težiščnem sistemu Λ , enak kotu ϑ_1 .



Predpostavka: kršitev simetrije CP majhna ($\alpha \approx \bar{\alpha} = \langle \alpha \rangle$, $d\alpha \ll \langle \alpha \rangle$) \rightarrow združimo vzorca za Λ_c^+ in $\bar{\Lambda}_c^-$, izmerimo $\langle \alpha \rangle$:

- Razdelimo vzorec v intervale $\cos\theta_h$,
- določimo število signalnih dogodkov s prilagajanjem na porazdelitve po invariantni masi Λ_c^+ in $\bar{\Lambda}_c^-$,
- določimo $\langle \alpha \rangle$ s prilagajanjem linearne funkcije na porazdelitev dogodkov po intervalih v $\cos\theta_h$.

Metoda meritve

$\langle \alpha \rangle$

Število rekonstruiranih dogodkov v določenem intervalu $\cos\theta_h$:

$$N_i^{rec,join}(\cos\theta_{h,i}) = N_i^{0,join}(\cos\theta_{h,i}) \cdot Br(\Lambda_c \rightarrow \Lambda\pi)(\cos\theta_{h,i}) Br(\Lambda \rightarrow p\pi)(\cos\theta_{h,i}) \cdot \langle \varepsilon \rangle_i(\cos\theta_{h,i})$$

- Kotna odvisnost razvejitenih razmerij določena prej:

$$Br(\Lambda_c \rightarrow \Lambda\pi)(\cos\theta_{h,i}) Br(\Lambda \rightarrow p\pi)(\cos\theta_{h,i}) = Br^0 \frac{1}{2} (1 + \langle \alpha \rangle \cos\theta_{h,i}),$$

- $N_i^{0,join}(\cos\theta_{h,i})$ kotna odvisnost - asimetrija v produkciji delcev in antidelcev, ker združimo vzorec $\rightarrow N_i^{0,join}(\cos\theta_{h,i}) = N_i^{0,join}$

Za $\langle \alpha \rangle$ potrebno določiti tudi odvisnost $\langle \varepsilon \rangle_i(\cos\theta_{h,i})$ - MC simulacija.

Potrebno upoštevati resolucijo meritve detektorja - dogodki padejo v drug interval $\cos\theta_h \rightarrow$ dekonvolucija.

Metoda meritve

\mathcal{A}_{CP}

Vzorca Λ_c^+ in Λ_c^- ločimo, v intervalih $\cos\theta_h$ s prilagajanjem na porazdelitev po masi določimo števila signalnih dogodkov:

$$N_i^{rec}(\cos\theta_{h,i}) = N^0(\cos\theta_{h,i})Br^0\frac{1}{2}(1 + \alpha\cos\theta_{h,i})\varepsilon_i(\cos\theta_{h,i}),$$
$$\bar{N}_i^{rec}(\cos\theta_{h,i}) = \bar{N}^0(\cos\theta_{h,i})Br^0\frac{1}{2}(1 + \bar{\alpha}\cos\theta_{h,i})\bar{\varepsilon}_i(\cos\theta_{h,i}).$$

Izračunamo rekonstruirano asimetrijo v vsakem intervalu $\cos\theta_h$:

$$\mathcal{A}_i^{rec}(\cos\theta_{h,i}) = \frac{N_i^{rec}(\cos\theta_{h,i}) - \bar{N}_i^{rec}(\cos\theta_{h,i})}{N_i^{rec}(\cos\theta_{h,i}) + \bar{N}_i^{rec}(\cos\theta_{h,i})},$$

Predpostavimo majhno kršitev simetrije CP , majhno asimetrijo naprej-nazaj in majhno razliko v izkoristku rekonstrukcije Λ_c^+ in Λ_c^- :

$$dN_i^0 \ll \langle N^0 \rangle_i, \quad d\alpha \ll \langle \alpha \rangle, \quad d\varepsilon_i \ll \langle \varepsilon \rangle_i.$$

Metoda meritve

\mathcal{A}_{CP}

Do 1. reda:

$$\mathcal{A}_i^{rec}(\cos \theta_{h,i}) = \mathcal{A}_i^{FB}(\cos \theta_{h,i}) + \mathcal{A}_i^\varepsilon(\cos \theta_{h,i}) + \mathcal{A}_{CP} \frac{\cos \theta_{h,i}}{1 + \langle \alpha \rangle \cos \theta_{h,i}}$$

$$\mathcal{A}_i^{FB} = \frac{N_i^0 - \bar{N}_i^0}{N_i^0 + \bar{N}_i^0}, \quad \mathcal{A}_i^\varepsilon = \frac{\varepsilon_i - \bar{\varepsilon}_i}{\varepsilon_i + \bar{\varepsilon}_i}, \quad \mathcal{A}_{CP} = \frac{\alpha - \bar{\alpha}}{\alpha + \bar{\alpha}}.$$

- \mathcal{A}^{FB} antisimetrična funkcija polarnega kota θ^* v težiščnem sistemu e^+e^-
- \mathcal{A}^ε lahko odvisna od polarnega kota θ v laboratorijskem sistemu zaradi geometrije detektorja

Predpostavka: odvisnosti se izpovprečita, ker θ_h nekoreliran z θ^* in $\theta \rightarrow$ edina kotna odvisnost zaradi \mathcal{A}_{CP} - lahko določimo s prilagajanjem funkcije $f(x) = k + \mathcal{A}_{CP}(x/(1 + \langle \alpha \rangle x))$.

Razvoj metode na simuliranih podatkih

Rekonstrukcija razpadne verige Λ_c

Rekonstrukcija:

- preselekcija HadronB - zavrže nehadronske dogodke,
- identifikacija π^+ , π^- , p^+ , p^- ,
- kombiniranje p in π v Λ , kombiniranje Λ in π v Λ_c ,
- prilagajanje sledi v skupni verteks, izberemo kandidata z najboljšo stopnjo zaupanja prilagajanja.

Selekcija večjega vzorca - selekcijski kriteriji:

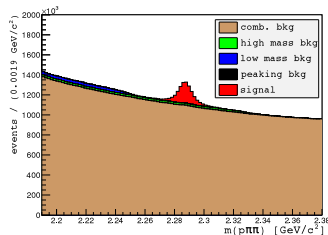
seleksijska spremenljivka	vrednost
$R_{\pi/K}, R_{\pi/p}, R_{p/K}, R_{p/\pi}$	≥ 0.6
$R_{\pi/e}, R_{\pi/\mu}$	≤ 0.9
$m(p\pi)$	$\geq 1.10 \text{ GeV}/c^2, \leq 1.13 \text{ GeV}/c^2$
$m(p\pi\pi)$	$\geq 2.19 \text{ GeV}/c^2, \leq 2.38 \text{ GeV}/c^2$
$p_{CMS}(\Lambda_c)$	$\geq 1.5 \text{ GeV}/c$

Razvoj metode na simuliranih podatkih

Primerjava med simulacijo in merjenimi podatki - skaliranje

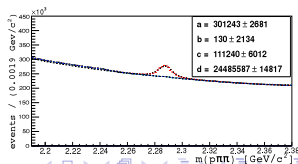
Večji vzorec razdelimo porazdelitev po masi Λ_c glede na izvor:

- signal,
- ozadje z obliko signala - $\Lambda_c \rightarrow f_0 p$, $\Lambda_c \rightarrow K^0 p$,
 $\Lambda_c \rightarrow p\pi\pi$,
- ozadje z nižjo maso - $\Sigma^0 \rightarrow \Lambda\gamma$, $\Lambda \rightarrow p\pi$,
- ozadje z višjo maso - razpadi Ξ_c barionov,
- kombinatorno ozadje - naključne kombinacije končnih produktov.



Primerjava z pravimi podatki: tvorimo verjetnostne gostote, pomnožene z prostimi parametri, prilagajamo na merjene podatke:

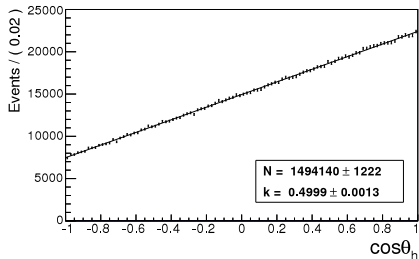
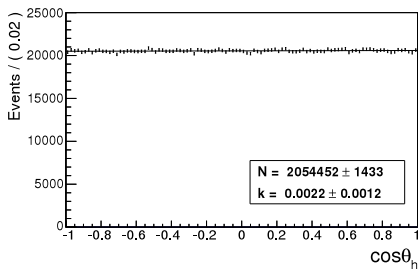
tip prispevka	koeficient skaliranja
signal	1.090 ± 0.010
oz. z nižjo maso	0.726 ± 0.039
oz. z višjo maso	0.000 ± 0.009
komb. oz.	1.330 ± 0.001



Razvoj metode na simuliranih podatkih

Primerjava med simulacijo in merjenimi podatki - preuteževanje

Linearna kotna odvisnost $\cos\theta_h$ ni simulirana \rightarrow preutežimo z naključnim odvzemanjem dogodkov \rightarrow dobimo linearno odvisnost s koeficientom $\alpha = 0.5$.



Po skaliranju in preuteževanju ostane v simulaciji ekvivalent štirikratni količini pravih podatkov.

Razvoj metode na simuliranih podatkih

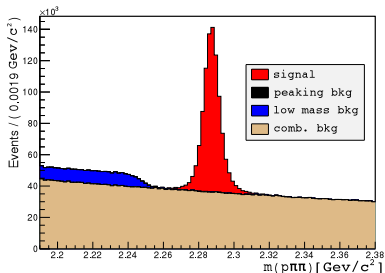
Konstrukcija analiznega vzorca

Optimizacija selekcijskih kriterijev \rightarrow za vsak kriterij določimo maksimum funkcije

$$FOM = \varepsilon \cdot P, \quad \varepsilon = \frac{N_{sig}^{rec}}{N_{sig}^0}, \quad P = \frac{N_{sig}^{rec}}{N_{all}^{rec}}$$

Taka vrsta optimizacije nam da največjo signifikanco signala $N_{sig}^{rec} / \sigma_{N_{sig}^{rec}}$.

seleksijska spremenljivka	vrednost
$R_{\pi/K}, R_{\pi/\rho}$ (oba piona)	≥ 0.6
$R_{\pi/e}, R_{\pi/\mu}$ (oba piona)	≤ 0.9
$R_{\rho/K}, R_{\rho/\pi}$	≥ 0.6
$\rho\pi, \rho\pi\pi$ st. zaupanja	$\geq 10^{-3}$
$m(\rho\pi)$	$\geq 1.1126 \text{ GeV}/c^2,$ $\leq 1.1186 \text{ GeV}/c^2$
$m(\rho\pi\pi)$	$\geq 2.19 \text{ GeV}/c^2,$ $\leq 2.38 \text{ GeV}/c^2$
$p_{CMS}(\Lambda_c)$	$\geq 2.2 \text{ GeV}/c$



Razvoj metode na simuliranih podatkih

Prilagajanje na invariantno maso Λ_c - metoda

- $\cos\theta_h$ interval razdelimo na 10 enako širokih intervalov,
- določimo porazdelitev po invariantni masi Λ_c v vsakem intervalu,
- s prilagajanjem določimo funkcijo iz katere izračunamo število signalnih dogodkov.

Za vsak interval enak funkcijski model z naborom prostih parametrov, normiran na celotno število dogodkov:

$$M(x; \vec{p}) = \sum_i N_i M_i(x; \vec{p}_i), \quad \int M(x; \vec{p}) dx \equiv N_{exp}(\vec{p}).$$

Model prilagajamo na vse intervale istočasno z minimiziranjem funkcije

$$-\ln L(\vec{p}) = - \sum_{j=1}^{N_{bin}=10} \sum_{H_j(x_i)} M(x_i; \vec{p}_j) - \text{Poisson}(N_{obs} | \sum_{j=1}^{N_{bin}=10} N_{exp,j}(\vec{p}_j)),$$

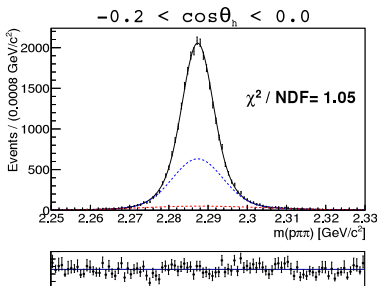
Razvoj metode na simuliranih podatkih

Prilaganje na signalne dogodke

Model: dve Gaussovi funkciji in ena asimetrična Gaussova funkcija:

$$M_S(m_{p\pi\pi}; \vec{p}) = \sum_{i=1}^{N_{bin}=10} N_{1,i} [G(m_{p\pi\pi}; m_i, \sigma_{1,i}) + n_{12}G(m_{p\pi\pi}; m_i, s_{12}\sigma_{1,i}) + n_{13}AG(m_{p\pi\pi}; m_i, s_{13l}\sigma_{1,i}, s_{13r}\sigma_{1,i})]$$

parameter	vrednost
n_{12}	0.710 ± 0.060
n_{13}	0.156 ± 0.010
s_{12}	1.741 ± 0.018
s_{13l}	4.008 ± 0.056
s_{13r}	4.856 ± 0.071



Razvoj metode na simuliranih podatkih

Prilaganje na vse dogodke

Model: model za signalne dogodke s nekaterimi parametri fiksnimi, sigmoidna funkcija in polinom Čebiševa 2. stopnje:

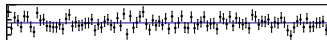
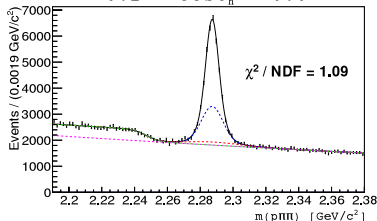
$$M_G(m_{p\pi\pi}; \vec{p}) = \sum_{i=1}^{N_{bin}=10} \left[M_S(m_{p\pi\pi}; \vec{p}) + N_{b1,i} S(m_{p\pi\pi}; m_b, w_b) + N_{b2,i} CH(m_{p\pi\pi}; c_1, c_2) \right]$$

Števila signalnih dogodkov in napake določimo po

$$R_i = N_{1,i}(1 + n_{12} + n_{13}), \quad \sigma_{R_i} = \sigma_{N_{1,i}}(1 + n_{12} + n_{13})$$

$-0.2 < \cos\theta_h < 0.0$

interval	R_i
0	16181 ± 242
1	19446 ± 250
2	22676 ± 259
3	26263 ± 266
4	30653 ± 280
5	34972 ± 291
6	37750 ± 296
7	42074 ± 302
8	46803 ± 310
9	51212 ± 310

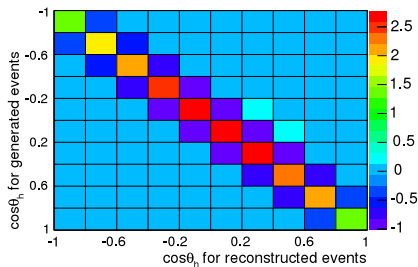
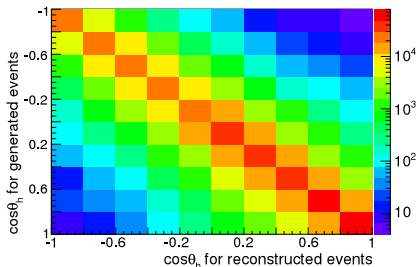


Razvoj metode na simuliranih podatkih

Dekonvolucija

Končna resolucija meritve $\cos\theta_h \rightarrow$ prava porazdelitev konvoluirana z resolucijsko funkcijo \rightarrow potrebna dekonvolucija.

Resolucijska matrika (M_{ij}) - 2D razdelki po rekonstruirani in pravi vrednosti $\cos\theta_h \rightarrow$ invertiramo \rightarrow dekonvolucijska matrika (q_{ij}).

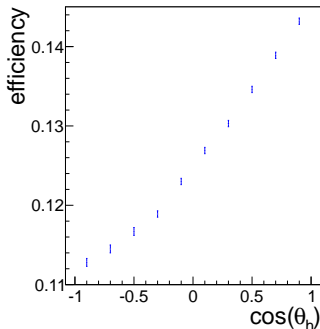


Razvoj metode na simuliranih podatkih

Kotna odvisnost izkoristka rekonstrukcije

Določimo za vsak interval $\cos\theta_h$, napaka Poissonska:

$$\langle \varepsilon_i \rangle = \frac{N_{R,i}}{N_{G,i}}, \quad \sigma_{\langle \varepsilon \rangle_i} = \sqrt{\frac{N_{R,i}(N_{G,i} + N_{R,i})}{N_{G,i}^3}}.$$

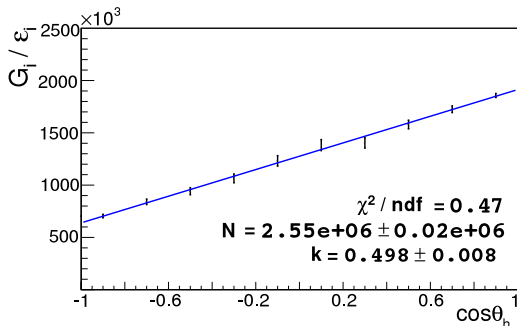


interval	$\langle \varepsilon \rangle$
0	0.1128 ± 0.0005
1	0.1145 ± 0.0005
2	0.1167 ± 0.0005
3	0.1189 ± 0.0004
4	0.1230 ± 0.0004
5	0.1269 ± 0.0004
6	0.1303 ± 0.0004
7	0.1346 ± 0.0004
8	0.1389 ± 0.0004
9	0.1432 ± 0.0004

Razvoj metode na simuliranih podatkih

Določanje $\langle\alpha\rangle$

Prilagajamo funkcijo $f(x; N, \langle\alpha\rangle) = \frac{1}{2}N(1 + \langle\alpha\rangle x)$ na porazdelitev $T_i = G_i/\langle\varepsilon\rangle_i$ po $\cos\theta_h$.



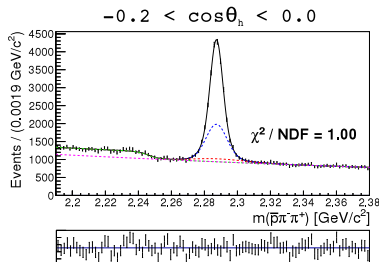
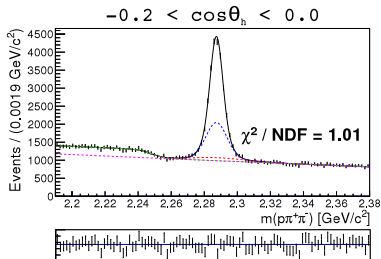
Primerjava rezultata z generirano vrednostjo:

$$\langle\alpha\rangle_{rec} = 0.498 \pm 0.008, \quad \langle\alpha\rangle_{gen} = 0.501 \pm 0.001.$$

Razvoj metode na simuliranih podatkih

Določanje \mathcal{A}_{CP}

- Ločimo vzorca za Λ_c^+ in $\bar{\Lambda}_c^-$,
- prilagajamo vzorca, model enak kot za skupni vzorec, fiksirane vrednosti določene na signalnih dogodkih,
- dekonvoluiramo števila dogodkov s prej določeno dekonvolucijsko matriko.

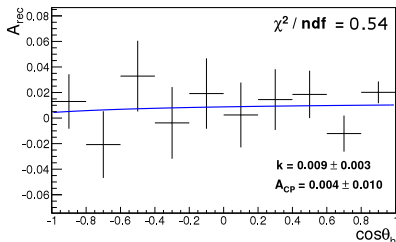


Razvoj metode na simuliranih podatkih

Določanje \mathcal{A}_{CP}

Za vsak interval določimo rekonstruirano asimetrijo $\mathcal{A}_{rec}^i = \frac{G_i - \bar{G}_i}{G_i + \bar{G}_i}$.

Prilagajamo funkcijo $g(x; k, \mathcal{A}_{CP}) = k + \mathcal{A}_{CP} \frac{x}{1 + (\alpha)x}$ na porazdelitev \mathcal{A}_{rec}^i po $\cos \theta_h$.



Primerjava rezultata z generirano vrednostjo:

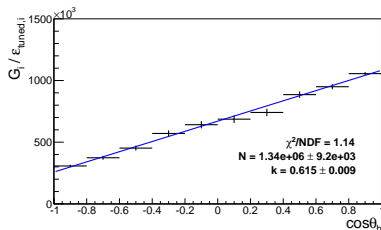
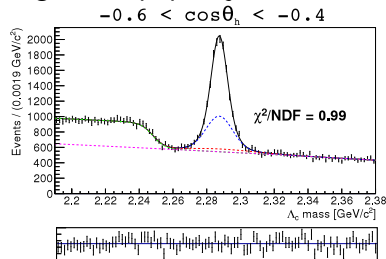
$$\mathcal{A}_{CP}^{rec} = 0.004 \pm 0.010, \quad \mathcal{A}_{CP}^{gen} = -0.003 \pm 0.003.$$

Pričakovana stat. napaka: $\sim 0.014 \rightarrow$ metoda z zanesljivostjo, boljše od stat. napake, ne kaže pristranskosti.

Analiza izmerjenih podatkov

Rezultat za $\langle \alpha \rangle$

Enak postopek kot pri simulaciji (prilagajanje na maso Λ_c , dekonvolucija, prilagajanje linearne funkcije na porazdelitev dekonvoluiranih števil dogodkov, popravljenih z izkoristkom rekonstrukcije).



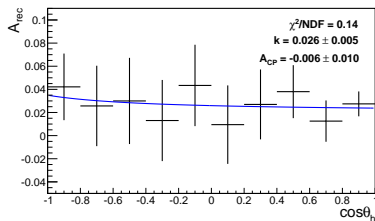
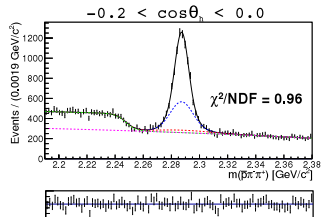
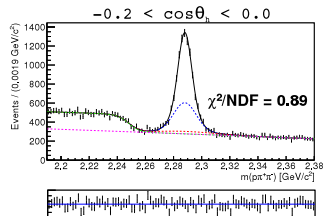
Rezultat:

$$\langle \alpha \rangle = 0.615 \pm 0.009$$

Analiza izmerjenih podatkov

Rezultat za \mathcal{A}_{CP}

Enak postopek kot pri simulaciji (prilaganje na maso Λ_c^+ in Λ_c^-), dekonvolucija, prilaganje funkcije $g(x)$ na porazdelitev rekonstruirane asimetrije po $\cos\theta_h$.



Rezultat:

$$\mathcal{A}_{CP} = -0.006 \pm 0.010,$$

Analiza izmerjenih podatkov

Rezultata za α_{Λ_c} in $\mathcal{A}_{CP}^{\Lambda_c}$

Uporabimo svetovni povprečji za parametra α_{Λ} in $\mathcal{A}_{CP}^{\Lambda}$ ¹:

$$\alpha_{\Lambda} = 0.642 \pm 0.013, \quad \mathcal{A}_{CP}^{\Lambda} = 0.006 \pm 0.021.$$

ter upoštevamo enačbi

$$|\langle \alpha_{\Lambda_c} \rangle| = \left| \frac{\langle \alpha \rangle}{\alpha_{\Lambda}} (1 + \mathcal{A}_{CP}^{\Lambda}) \right|, \quad \mathcal{A}_{CP}^{\Lambda_c} = \frac{\mathcal{A}_{CP} - \mathcal{A}_{CP}^{\Lambda}}{1 - \mathcal{A}_{CP} \mathcal{A}_{CP}^{\Lambda}}.$$

Rezultata:

$$|\langle \alpha_{\Lambda_c} \rangle| = 0.964 \pm 0.014(\text{stat.}) \pm 0.020(\alpha_{\Lambda}) \pm 0.020(\mathcal{A}_{CP}^{\Lambda}) = 0.964 \pm 0.032,$$

$$\mathcal{A}_{CP}^{\Lambda_c} = -0.012 \pm 0.010(\text{stat.}) \pm 0.021(\mathcal{A}_{CP}^{\Lambda}) = -0.012 \pm 0.023.$$

¹Beringer J. et al.: *Review of Particle Physics, Phys..Rev. D86 (2012)*

Sistematska negotovost

Izvori

- Negotovost pri rekonstrukciji sledi (0.35%/sled). Pri meritvi \mathcal{A}_{CP} se pokrajša.
- Končno število dogodkov pri dekonvolucijski matriki. Določimo z MC simulacijo.
- Nezanosljivost parametrov, ki so fiksirani v modelu za prilagajanje; določimo z MC simulacijo.
- Zanemaritev ozadja z enako obliko kot signal. Ocenimo tako, da to ozadje izpustimo in ponovno izračunamo rezultate.
- Predpostavka, da asimetrija naprej-nazaj ni funkcija $\cos\theta_h$. Ocenimo z MC simulacijo. Pride v poštev samo za \mathcal{A}_{CP} .
- Predpostavka, da asimetrija zaradi rekonstrukcije delcev in antidelcev ni funkcija $\cos\theta_h$. Ocenimo z ponovitvijo analize za razpadno verigo $\Sigma^* \rightarrow \Lambda\pi, \Lambda \rightarrow p\pi$, kjer je to edina možna asimetrija. Pride v poštev samo za \mathcal{A}_{CP} .

Sistematska negotovost

Povzetek

izvor	$\sigma_{\langle\alpha\rangle}^{syst}$	$\sigma_{\mathcal{A}_{CP}}^{syst}$
nabite sledi	0.011	n.a.
dekonvolucija	0.001	zanemarljivo
fiksirani par.	0.003	0.001
ozadje z enako porazd.	zanemarljivo	zanemarljivo
\mathcal{A}_{FB}	n.a.	0.004
\mathcal{A}_{ϵ}	n.a.	0.002
vsota	0.011	0.005

Izmerili smo $\langle \alpha_{\Lambda_c} \rangle$ in $\mathcal{A}_{\text{CP}}^{\Lambda_c}$ za razpad $\Lambda_c \rightarrow \Lambda \pi$.

$$\begin{aligned} |\langle \alpha_{\Lambda_c} \rangle| &= 0.964 \pm 0.014(\text{stat.}) \pm 0.020(\alpha_{\Lambda}) \pm 0.020(\mathcal{A}_{\text{CP}}^{\Lambda_c}) \pm 0.017(\text{syst.}) \\ \mathcal{A}_{\text{CP}}^{\Lambda_c} &= -0.012 \pm 0.010(\text{stat.}) \pm 0.021(\mathcal{A}_{\text{CP}}^{\Lambda_c}) \pm 0.005(\text{syst.}). \end{aligned}$$

Izmerjena vrednost se ujema z dosedanjimi meritvami in je za red velikosti natančnejša od teh. Rezultati ne kažejo na signifikantno kršitev simetrije CP velikostnega reda $\mathcal{O}(10^{-2})$.

BACKUP

Kotna odvisnost razpadnih produktov za $B \rightarrow B'M$

Šibek razpad, parnost ni ohranjena.

Za vzorec z $P_B = 1$ (spin gor), ima končno stanje lahko $l = 0$ (S) ali $l = 1$ (P)

Dovoljena končna stanja (zaradi ohranitve vrtilne količine):

$$\psi_1 = A_S Y_0^0 s_{1/2} = A_S \begin{bmatrix} 1 \\ 0 \end{bmatrix},$$

$$\psi_2 = -A_P \left(-\sqrt{\frac{1}{3}}\right) Y_0^1 s_{1/2} = -A_P \left(-\sqrt{\frac{1}{3}}\right) (\sqrt{3} \cos \theta) \begin{bmatrix} 1 \\ 0 \end{bmatrix},$$

$$\psi_3 = -A_P \left(\sqrt{\frac{2}{3}}\right) Y_1^1 s_{-1/2} = -A_P \left(\sqrt{\frac{2}{3}}\right) \left(-\sqrt{\frac{3}{2}} \sin \theta e^{i\varphi}\right) \begin{bmatrix} 0 \\ 1 \end{bmatrix}$$

Končno stanje superpozicija:

$$\psi_f = \psi_1 + \psi_2 + \psi_3 = (A_S + A_P \cos \theta) \begin{bmatrix} 1 \\ 0 \end{bmatrix} + (A_P e^{i\varphi} \sin \theta) \begin{bmatrix} 0 \\ 1 \end{bmatrix}$$

Kotna porazdelitev:

$$\frac{dN}{d \cos \theta} = \psi_f^* \psi_f = 1 + \alpha_{\Lambda_c} \cos \theta, \quad \alpha_{\Lambda_c} = \frac{2 \operatorname{Re}(A_S^* A_P)}{|A_S|^2 + |A_P|^2}$$

Funkcije pri prilagajanju - podrobno

$$G(x; m, \sigma) = \frac{1}{\sqrt{2\pi}\sigma} \exp \left[-\frac{(x-m)^2}{2\sigma^2} \right],$$

$$\begin{aligned} AG(x; m, \sigma_l, \sigma_r) &= \frac{1}{\sqrt{2\pi}\sigma_l} (1 - \theta(x-m)) \exp \left[-\frac{(x-m)^2}{2\sigma_l^2} \right] + \\ &+ \frac{1}{\sqrt{2\pi}\sigma_r} \theta(x-m) \exp \left[-\frac{(x-m)^2}{2\sigma_r^2} \right], \end{aligned}$$

$$S(x; m, w) = \frac{1}{1 + \exp \left[\frac{x-m}{w} \right]},$$

$$CH(x; c_1, c_2) = 1 + c_1 x + c_2 (x^2 - 1).$$

Dekonvolucija - podrobno

Resolucijsko matriko M normiramo po vrsticah da dobimo konvolucijsko matriko P (verjetnost, da dogodek pade v katerikoli interval je 1):

$$\sum_i p_{ij} = 1 \rightarrow p_{ij} = \frac{M_{ij}}{\sum_k M_{kj}}$$

Invertiramo P da dobimo dekonvolucijsko matriko Q :

$$Q = P^{-1}$$

Prava števila signalnih dogodkov dobimo iz rekonstruiranih:

$$G_i = \sum_j q_{ij} R_j$$

Napaka:

$$\sigma_{G_i}^2 = \sum_j R_j^2 \sigma_{q_{ij}}^2 + \sum_j \sum_k q_{ij} q_{ik} R_{jk} \sigma_{R_j} \sigma_{R_k},$$

$$\sigma_{q_{ij}}^2 = \sum_a \sum_b q_{ia}^2 \frac{M_{ab} \sum_{c \neq a} M_{cb}}{(\sum_c M_{ab})^3} q_{bj}^2$$

Prilagajanje za določitev $\langle \alpha \rangle$

Prilagajamo funkcijo

$$f(x; N, \langle \alpha \rangle) = \frac{1}{2} N(1 + \langle \alpha \rangle x)$$

z minimiziranjem (prilagajanje χ^2 z korelacijami - napake so korelirane zaradi dekonvolucije)

$$\chi^2(N, \langle \alpha \rangle) = (\vec{T} - \vec{f}(x; N, \langle \alpha \rangle))^T V^{-1} (\vec{T} - \vec{f}(x; N, \langle \alpha \rangle)),$$

kjer je V kovariančna matrika:

$$V_{ij} = T_i T_j \left(\frac{\sum_k \sum_l q_{ik} q_{jl} R_{kl} \sigma_{R_k} \sigma_{R_l}}{G_i G_j} + \delta_{ij} \frac{\sum_k R_k^2 \sigma_{q_{ik}} \sigma_{q_{jk}}}{G_i G_j} + \delta_{ij} \frac{\sigma_{\langle \epsilon \rangle_i} \sigma_{\langle \epsilon \rangle_j}}{\langle \epsilon \rangle_i \langle \epsilon \rangle_j} \right).$$

Prilagajanje za določitev \mathcal{A}_{CP}

Prilagajamo funkcijo

$$g(x; k, \mathcal{A}_{CP}) = k + \mathcal{A}_{CP} \frac{x}{1 + \langle \alpha \rangle x},$$

z minimiziranjem (prilagajanje χ^2 z korelacijami - napake so korelirane zaradi dekonvolucije)

$$\chi^2(k, \mathcal{A}_{CP}) = (\vec{\mathcal{A}}_{rec} - \vec{g}(x; k, \mathcal{A}_{CP}))^T V^{-1} (\vec{\mathcal{A}}_{rec} - \vec{g}(x; k, \mathcal{A}_{CP})),$$

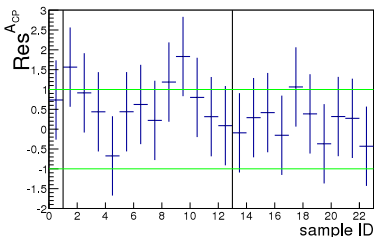
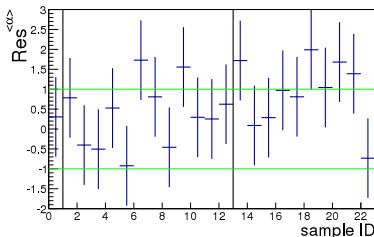
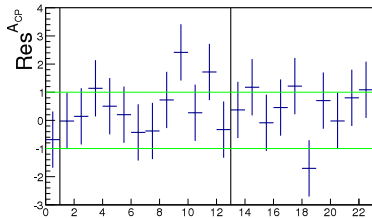
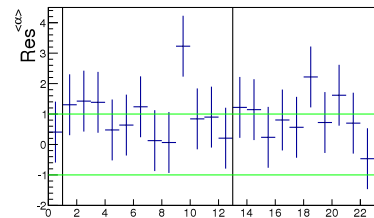
kjer je V kovariančna matrika:

$$\begin{aligned} V_{ij} = & \frac{4}{(G_i + \bar{G}_i)^2 (G_j + \bar{G}_j)^2} \left(\bar{G}_i \bar{G}_j \sum_k \sum_l q_{ik} q_{jl} R_{kl} \sigma_{R_k} \sigma_{R_l} + \right. \\ & + G_i G_j \sum_k \sum_l q_{ik} q_{jl} \bar{R}_{kl} \sigma_{\bar{R}_k} \sigma_{\bar{R}_l} + \\ & \left. + \delta_{ij} \sum_k (R_k \bar{G}_i - \bar{R}_k G_i) (R_k \bar{G}_j - \bar{R}_k G_j) \sigma_{q_{ik}} \sigma_{q_{jk}} \right) \end{aligned}$$

Test linearnosti in konsistentnosti

Test linearnosti - generiramo simulacijo z drugačno vrednostjo α in ponovimo analizo

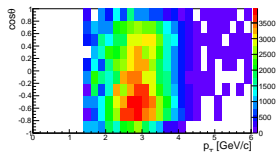
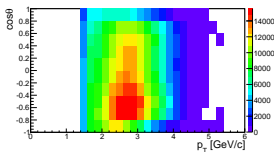
Test konsistentnosti - analizo ponovimo na statistično neodvisnem vzorcu



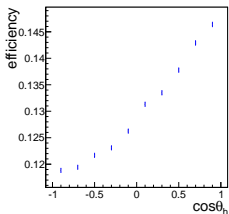
Analiza pravih podatkov

Popravljanje simulacije

Gibalne količine se razlikujejo \rightarrow na pravih podatkih se spremenita selekcijski kriterij $p_{CMS}(\Lambda_c)$ in $\langle \varepsilon \rangle$ \rightarrow na simulaciji popravimo fazni prostor ($p_T, \cos\theta$) da se ujema z tistim na pravih podatkih



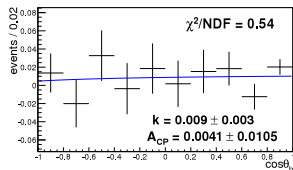
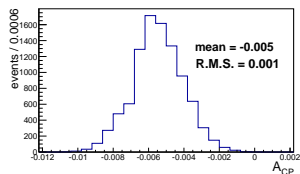
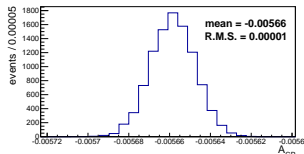
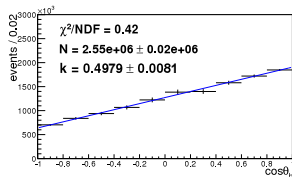
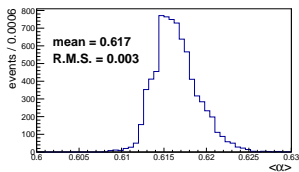
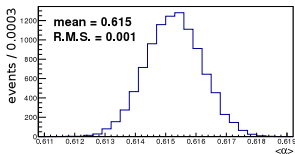
Sprememba $p_{CMS}(\Lambda_c)$ iz 2.2 GeV \rightarrow 2.325 GeV.



interval	$\langle \varepsilon \rangle$
0	0.1188 ± 0.0004
1	0.1194 ± 0.0004
2	0.1217 ± 0.0004
3	0.1231 ± 0.0004
4	0.1263 ± 0.0004
5	0.1313 ± 0.0004
6	0.1335 ± 0.0004
7	0.1378 ± 0.0004
8	0.1429 ± 0.0004
9	0.1464 ± 0.0004

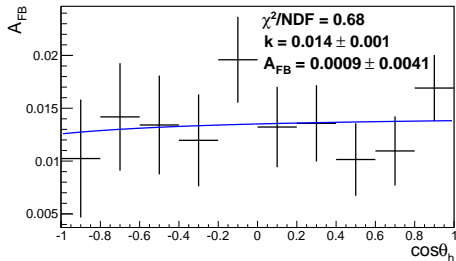
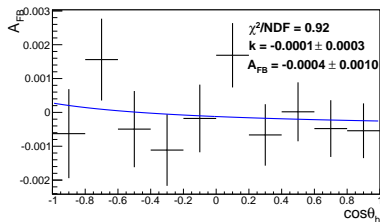
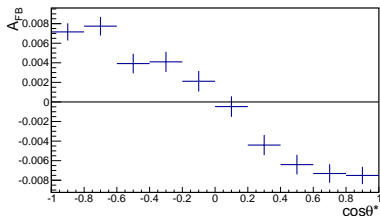
Sistematska napaka

podrobno



Sistematska napaka

A_{FB}



Sistematska napaka

\mathcal{A}_{eff} - prilaganje

Funkcija prilaganja:

$$\begin{aligned} M_G(m_{p\pi\pi}; \vec{p}) &= \sum_{i=1}^{N_{bin}=10} N_{1,i} (G(m_{p\pi\pi}; m_i, \sigma_{1,i}) + n_{12} G(m_{p\pi\pi}; m_i, s_{12}\sigma_{1,i}) + \\ &+ n_{13} G(m_{p\pi\pi}; m_i, s_{13}\sigma_{1,i}) + \\ &+ \frac{n_{1b}(\cos\theta_h)}{1 + n_{12} + n_{13}} CH(m_{p\pi\pi}; c_1(\cos\theta_h), c_{12}(\cos\theta_h)c_1(\cos\theta_h))), \end{aligned}$$

$$G(x; m, \sigma) = \frac{1}{\sqrt{2\pi}\sigma} \exp\left[-\frac{(x - m)^2}{2\sigma^2}\right],$$

$$CH(x; c_1, c_2) = 1 + c_1 x + c_2 (x^2 - 1),$$

$$n_{1b}(x) = A_b x + B_b,$$

$$c_1(x) = A_{c1} x + B_{c1},$$

$$c_{12}(x) = A_{c12} x + B_{c12},$$

Sistematska napaka

\mathcal{A}_{eff} - rezultati

